

معرفی الگوریتم جستجوی هارمونی برای بهینه‌سازی شکل‌های آیرودینامیکی با استفاده از معادلات

ناویر-استوکس*

فرهاد جلیلی^(۱)

مجید ملک‌جعفریان^(۲)

علی صفوی‌نژاد^(۳)

چکیده در این پژوهش الگوریتم تکاملی بهینه‌سازی جستجوی هارمونی برای اولین بار، به منظور حل مسئله‌ی بهینه‌سازی شکل‌های آیرودینامیکی توسعه داده شده است. شکل آیرودینامیکی مورد بررسی، ایرفویل بوده و روش پارسیس برای معرفی هندسه‌ی آن استفاده شده است. مسئله، مینیمم‌سازی تابع هدف آیرودینامیکی به روش طراحی معکوس و تابع هدف، اختلاف توزیع فشار ایرفویل در حال بررسی و ایرفویل هدف بوده است. معادلات دوبعدی تراکم پذیر ناویر-استوکس به همراه مدل آشته‌ی اسپلارت-آلماراس برای مدل‌سازی جریان مورد استفاده قرار گرفته است. برای افزایش کارایی الگوریتم بهینه‌سازی جستجوی هارمونی، اصلاح جامعی بر روی آن انجام شده است. الگوریتم بهینه‌سازی جستجوی هارمونی اصلاح شده، با تغییر متغیرهای طراحی هندسه‌ی ایرفویل، در صاد رسیدن به متغیرهای طراحی بهینه و متعاقباً حصول به ایرفویل هدف برآمده است. برای این مهم، الگوریتم از ایرفویل NACA0012 شروع و با نزدیک کردن توزیع فشار به توزیع فشار ایرفویل هدف (RAE2822)، ایرفویل هدف را بازسازی کرده است. برای بررسی دقیق‌تر و اطمینان از صحت و دقت الگوریتم بهینه‌سازی، این عمل بهینه‌سازی در جهت عکس نیز انجام شده است. یعنی با شروع از ایرفویل RAE2822، ایرفویل NACA0012 بازسازی گشته است. نتایج به دست آمده نشان می‌دهد که استفاده از الگوریتم بهینه‌سازی جستجوی هارمونی ابزار کارا و قادر تمنی‌ی را برای بهینه‌سازی شکل‌های آیرودینامیکی در اختیار می‌گذارد.

واژه‌های کلیدی الگوریتم تکاملی جستجوی هارمونی، بهینه‌سازی شکل‌های آیرودینامیکی، معادلات ناویر-استوکس، روش پارسیس، طراحی معکوس.

Introduction of Harmony Search Algorithm for Aerodynamic Shape Optimization Using the Navier-Stokes Equations

F. Jalili

M. Malek- Jafarian

A. Safavinejad

Abstract In this work, Harmony Search Meta-Heuristic Optimization Algorithm has been developed for aerodynamic shape optimization problem for the first time. The aerodynamic shape, which has been investigated, is an airfoil with Parces method for its shape parameterization. The problem was minimization of aerodynamic objective function using inverse design method and the objective function has been the deviation of pressure distribution between investigated airfoil and the target airfoil. The 2-Dimensional compressible Navier-Stokes equations have been considered for simulation of flow using Spalart-Almaras turbulence model. A global improvement has been carried out to enhance the efficiency of Harmony Search Algorithm. In improved Harmony Search Algorithm one obtains the optimum design values and target airfoil by changing the airfoil shape design variables. To do this, algorithm starts from NACA0012 airfoil and reconstructs the target airfoil (RAE2822) by making pressure distribution closer to the target airfoil pressure distribution. For more accurate investigation and to make sure about the accuracy of algorithm, this optimization process has also been done in inverse direction. It means that, NACA0012 airfoil has been reconstructed starting from RAE2822 airfoil. The obtained results show that the utilization of Harmony Search Algorithm allows us to obtain an efficient and powerful tool for Aerodynamic Shape Optimization.

Key Words Harmony Search Meta-Heuristic Algorithm, Aerodynamic Shape Optimization, Navier-Stokes Equations, Parces Method, Inverse Design.

* تاریخ دریافت مقاله ۹۰/۹/۹ و تاریخ پذیرش آن ۹۲/۳/۲۷ می‌باشد.

(۱) دانشجوی کارشناسی ارشد، گروه مکانیک، دانشگاه بیرجند.

(۲) نویسنده‌ی مسؤول: استادیار، گروه مکانیک، دانشگاه بیرجند.

(۳) استادیار، گروه مکانیک، دانشگاه بیرجند.

مقدمه

طراحی، برای ارزیابی مجموعه‌های بهینه‌کننده استفاده می‌شود.

در طراحی بهینه‌سازی مستقیم، هیچ اطلاعی از ایرفویل نهایی در دست نیست. به عبارت دیگر در این نوع طراحی، طراح در پی به دست آوردن یک ایرفویل خاص می‌باشد. این ایرفویل خاص می‌تواند به منظور بیشینه کردن برآ، کمینه کردن پسا، بیشینه کردن نسبت برآ به پسا و غیره طراحی گردد [10].

برای انجام هر کدام از دو روش طراحی ذکرشده (طراحی بهینه‌سازی معکوس و مستقیم) به یک روش بهینه‌سازی نیاز است. در یک دسته‌بندی کلی، روش‌های بهینه‌سازی به دو گروه روش‌های مبتنی بر گرادیان (Gradient-Based Methods) و روش‌های غیر مبتنی بر گرادیان (روش‌های اکتشافی یا مکاشفه‌ای) تقسیم می‌شوند [9]. روش‌های گرادیانی، همواره با مشتق اول و در بعضی موارد مشتق دوم تابع هدف (و توابع محدودکننده) نسبت به پارامترهای مستقل مربوط سر و کار دارند. از این روش‌ها می‌توان حساب دیفرانسیل، حساب تغییرات، برنامه‌ریزی خطی و غیرخطی و غیره را نام برد. این تکنیک‌ها علی‌رغم همگرایی سریع، در حل برخی مسائل دچار مشکل می‌شوند. از این موارد می‌توان حالت‌هایی مانند رویارویی با توابع پله‌ای، توابع ناپیوسته، توابع دارای نقاط نوک‌تیز و غیره را نام برد. هم‌چنان، این روش‌ها سعی در بهبود جواب در همسایگی شروع حل را دارند و در صورت انتخاب نامناسب نقطه‌ای اولیه، احتمال دارد جواب به دست‌آمده جواب محلی باشد و تمام ناحیه‌ی حل را پوشش ندهد. بدلیل وجود این کاستی‌ها، محققان به روش‌های مکاشفه‌ای علاقه‌مند شده‌اند و تحقیقات متعددی را با استفاده از آن‌ها انجام داده‌اند. روش‌های مکاشفه‌ای نیازی به اطلاعات گرادیانی ندارند و تنها مشخص بودن مقدار تابع هدف (و توابع محدودکننده) در نقاط مختلف، برای کار بهینه‌سازی کفایت می‌کند. این

آیرودینامیک، شاخه‌ای از دینامیک گازها و در حالت کلی تر دینامیک سیالات است که به بررسی رفتار جریان هوا و اثر آن بر اجسام متحرک می‌پردازد. مهم‌ترین کاربرد آیرودینامیک در مهندسی هوافضا است. یکی از معروف‌ترین جسم‌هایی که در زمینه‌ی آیرودینامیک مورد بحث قرار می‌گیرد ایرفویل‌ها یا همان بالواره‌ها می‌باشد [2].

اولین تلاش‌ها برای توسعه‌ی مقطع ایرفویل‌ها در اوخر ۱۸۰۰ میلادی آغاز شد [3]. به مرور زمان محققان مختلف در مورد مقطع ایرفویل‌ها تحقیق کردند. تا قبل از سال ۱۹۶۵ میلادی، اکثر این تحقیق‌ها معمولاً به صورت سعی و خطا و در تونل باد انجام می‌گرفت. در تونل‌های باد باید چندین ایرفویل مورد بررسی قرار می‌گرفت و در نهایت یک ایرفویل به عنوان ایرفویل نهایی معروفی می‌گردید. این امر بسیار زمان‌بر و پرهزینه بود، به طوری که در بعضی موارد هزاران ساعت صرف این کار می‌شد [4, 5].

با توسعه‌ی روش‌های محاسباتی (CFD) (Computational Fluid Dynamics) تحول عظیمی در بهینه‌سازی ایرفویل‌ها انجام گرفت. به طوری که دیگر نیازی به ساخت و آزمایش ایرفویل‌های مختلف در تونل باد نبود و به کمک CFD در کنار یک روش طراحی بهینه‌سازی آیرودینامیکی با صرف وقت و هزینه‌ی کمتر عمل بهینه‌سازی انجام می‌یافت [6, 7].

طراحی بهینه‌سازی ایرفویل‌ها را در حالت کلی می‌توان به دو دسته تقسیم کرد [8, 9]:

- ۱- روش طراحی بهینه‌سازی معکوس.
- ۲- روش طراحی بهینه‌سازی مستقیم.

در طراحی بهینه‌سازی معکوس، طراح در نظر دارد با توجه به یک توزیع فشار هدف (یا توزیع سرعت هدف) به تولید هندسه‌ای نائل گردد که کم‌ترین اختلاف را با توزیع فشار هدف (یا توزیع سرعت هدف) داشته باشد. در برخی موارد از این نوع روش

طراحی مسائل آیرودینامیکی استفاده نشده است. لذا در این پژوهش، اصلاح جامعی بر روی الگوریتم بهینه‌سازی جستجوی هارمونی انجام شده است و از آن برای طراحی (بهروش معکوس) ایرفویل‌ها استفاده می‌شود. بدین صورت توانایی الگوریتم اصلاحی در حل مسائل آیرودینامیکی سنجیده می‌شود. برای انجام این مهم به معرفی ابزارهای مورد نیاز پرداخته می‌شود.

معرفی ابزارهای مورد نیاز

برای طراحی ایرفویل‌ها به روش بهینه‌سازی، باید ابزارهایی استفاده شود. این ابزارها را در حالت کلی می‌توان به ۳ گروه تقسیم‌بندی کرد که عبارتند از:

- ۱- روشی برای معرفی هندسه‌ی ایرفویل (Airfoil Parameterization).
- ۲- حل گر عددی برای حل معادلات جریان.
- ۳- روش یا الگوریتم بهینه‌سازی.

این سه ابزار در عمل بهینه‌سازی باید کنار هم قرار گیرند و با همکاری یکدیگر به هندسه‌ی مطلوب نائل شوند. در ادامه به توضیح این ابزارها پرداخته می‌شود.

روشی برای معرفی هندسه‌ی ایرفویل. منظور از معرفی هندسه‌ی یک ایرفویل عبارت است از روشی که به وسیله‌ی آن، هندسه‌ی یک ایرفویل ایجاد گردد. در به وجود آمدن این ایرفویل، پارامترهایی باید دخیل باشند. به طوری که با تغییر در آن پارامترها بتوان هندسه‌ی ایرفویل را تغییر داد. روش‌های متفاوتی به عنوان این ابزار مورد استفاده قرار می‌گیرد. از آن جمله می‌توان به روش توابع بی‌اسپلاین (B-spline Functions) [14,15]، منحنی‌های بزیر (Bezier Curves) [16,17]، توابع هیک-هن (Hicks-Henne Bump Functions) [18]، روش پارسیس (Parces Method) [6,13,19]، روابط ایرفویل‌های چهاررقمی ناکا (Naca 4 Digits Library)

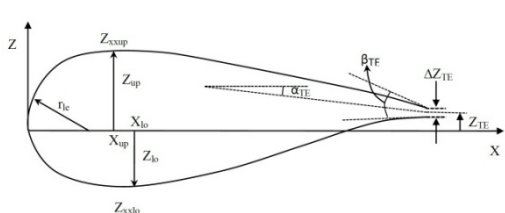
روش‌ها که بعد از سال ۱۹۷۰ میلادی توسعه داده شده‌اند، در اصل از پدیده‌های طبیعی الهام گرفته شده‌اند و با تلفیق نظم و تصادف در جهت یافتن حالت بهینه عمل می‌کنند [11]. از این جمله روش‌ها می‌توان Simulated Annealing (Tabu Search)، جستجوی تابو (Annealing Algorithm)، الگوریتم تکاملی (Ant Colony Method)، الگوریتم کلونی مورچه‌ها (Genetic Algorithm)، الگوریتم ژنتیک (Genetic Algorithm)، الگوریتم انفجر بزرگ-انفلاض بزرگ (Big Bang–Big Crunch) و غیره اشاره کرد.

در راستای طراحی ایرفویل‌ها، تحقیقات زیادی انجام گرفته است. سورماوتو در سال ۱۹۹۷ [8] تحقیق روی ایرفویل‌ها را به روش طراحی بهینه‌سازی معکوس، با استفاده از روش حساب تغییرات انجام داد. گاردینر و سلیق در سال ۲۰۰۳ [12] با استفاده از الگوریتم تکاملی ژنتیک، به بررسی ایرفویل‌ها به روش طراحی بهینه‌سازی معکوس پرداختند. دیجیلی ویتوری و بهاوکس در سال ۲۰۰۶ [10]، روش‌های طراحی بهینه‌سازی معکوس و مستقیم را با استفاده از روش گرادیانی مورد مطالعه قرار دادند. شاهرخی و جهانگیری در سال ۲۰۰۶ [13] بهینه‌سازی هندسه‌ی ایرفویل را با استفاده از الگوریتم ژنتیک، به روش بهینه‌سازی مستقیم انجام دادند. در تحقیق دیگری، جهانگیری و شاهرخی در سال ۲۰۰۹ [9] به بررسی بهینه‌سازی ایرفویل‌ها به روش بهینه‌سازی معکوس پرداختند. در تحقیق مذکور، الگوریتم ژنتیک به عنوان الگوریتم بهینه‌سازی مورد استفاده قرار گرفته بود.

یکی دیگر از الگوریتم‌های مکاشفه‌ای، الگوریتم Harmony Search Algorithm (HS) می‌باشد که در سال ۲۰۰۱ توسط گیم معرفی شده است [11]. با وجود این که مسائل حل شده با استفاده از این الگوریتم، نشان از کارایی خوب آن دارند، اما تا به حال از این الگوریتم برای بهینه‌سازی و

کاهش داد. دلیل این امر را می‌توان به صورت زیر بیان کرد:

- ۱- در اکثر موارد علاوه‌مندیم که عمل بهینه‌سازی را در شرایط زاویه‌ی حمله‌ی ثابت بررسی کنیم. از طرفی وجود پارامتر Z_{TE} باعث تغییر زاویه‌ی حمله می‌شود.
- ۲- پارامتر ΔZ_{TE} باعث ایجاد یک حفره‌ی (Gap) (کوچک در بین سطوح بالایی و پایینی می‌گردد). این حفره در بعضی از حالات باعث ایجاد حل‌های مشکوک می‌شود [22]. از طرفی تجربه‌ی این پژوهش نشان می‌دهد که با صفر درنظر گرفتن این پارامتر نیز می‌توان نتایج قابل قبولی گرفت. لذا در کار حاضر، روش پارسنس با ۹ پارامتر کنترلی برای معرفی هندسه‌ی ایرفویل مورد استفاده قرار می‌گیرد.



شکل ۱ پارامترهای کنترلی هندسه‌ی ایرفویل در روش پارسنس

حل‌گر عددی. برای به‌دست آوردن کارایی آیرودینامیکی یک ایرفویل باید معادلات جریان حول آن حل گردد. این کار توسط حل‌گر عددی صورت می‌گیرد. این ابزار باید دارای دقت کافی باشد تا بتوان میدان‌های سرعت و فشار را در اطراف ایرفویل با دقت خوبی به‌دست آورد. جریان حول یک ایرفویل را می‌توان به صورت‌های مختلفی شبیه‌سازی کرد. در کار حاضر جریان لزج، آشفته و گذر صوتی درنظر گرفته می‌شود. لذا معادلات حاکم بر جریان، معادلات تراکم‌پذیر وابسته به زمان ناویر-استوکس به همراه مدل درهم اسپلارلت-آلماراس [23] می‌باشند. شکل بقایی و بی بعد این معادلات در مختصات دو بعدی به صورت زیر است:

[20] و غیره اشاره کرد. هر کدام از این روش‌ها دارای پارامترهای کنترلی مخصوص به خود هستند؛ به طوری که با اختصاص دادن مقادیر معقول به پارامترهای کنترلی در هر روش، یک هندسه‌ی ایرفویل توسط آن روش دریافت خواهد شد. هم‌چنین، تغییر پارامترهای کنترلی منجر به تغییر هندسه‌ی ایرفویل می‌شود. در واقع با تغییر پارامترهای کنترلی، هندسه‌های مختلف تولید و بررسی می‌گردند. این موضوع اساس کار بهینه‌سازی است.

روش پارسنس، یک روش کارا برای معرفی هندسه‌ی ایرفویل می‌باشد [21]. در این روش ایرفویل توسط ۱۱ پارامتر کنترلی ایجاد می‌شود و قادر به کنترل خواهد بود. رابطه‌ی مربوط در زیر آورده شده است:

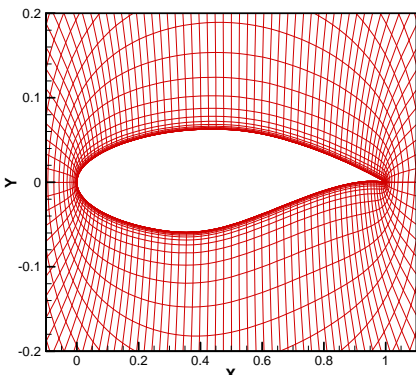
$$Z_{\text{parces}} = \sum_{n=1}^6 a_n \cdot X^{n-\frac{1}{2}} \quad (1)$$

۱۱ پارامتر کنترلی در شکل (۱) نشان داده شده‌اند که به ترتیب عبارتند از شعاع لبه‌ی جلویی (leading edge radius) (r_{le}), موقعیت ماکریم سطوح بالایی و پایینی (upper and lower crest location) (Z_{xxup}, Z_{xxlo}), مستقیم دوم در محل ماکریم سطوح بالایی و پایینی (second derivatives in upper and lower crest), موقعیت لبه‌ی انتهایی و ضخامت آن (Z_{TE}, Z_{xxTE})، موقعیت نهایت جهت و پهنه‌ی لبه‌ی انتهایی (trailing edge direction and wedge angle) (α_{TE}, β_{TE}). رابطه‌ی (۱) باید به صورت مجزا، یک مرتبه برای سطح بالایی و بار دیگر برای سطح پایینی ایرفویل مورد استفاده قرار گیرد تا هندسه‌ی یک ایرفویل ایجاد گردد. ضرایب a_n نیز با درنظر گرفتن پارامترهای معلوم مربوط به هندسه تعیین می‌گردند [13].

در برخی موارد، می‌توان ۱۱ پارامتر کنترلی مذکور Z_{TE} و ΔZ_{TE} را با صفر درنظر گرفتن پارامترهای

مؤلفه‌های سرعت در جهات x و y ، چگالی، فشار استاتیک، متغیر میانی لزجت درهم سینماتیکی و مجموع انرژی درونی و جنبشی می‌باشند. هم‌چنین τ مؤلفه‌های تنش و q شار حرارتی را نشان می‌دهد. D نیز جمله‌ی چشمی مربوط به مدل درهم مورد استفاده می‌باشد.

معادلات فوق با انتگرال‌گیری در حجم و استفاده از تئوری لاینیتر و قضیه‌ی گرین منفصل شده و با استفاده از طرح صریح رانگ-کوتا حل گردیده است. شبکه‌های مورد استفاده در کار حاضر از نوع O با بعد 81×41 می‌باشد. این شبکه‌ها در سطح ایرفویل دارای تراکم مش بیشتری می‌باشد که باعث می‌شود تا بتوان لایه‌ی مرزی را به خوبی شبیه‌سازی کرد و تأثیر آن را در حل وارد کرد. هم‌چنین شبکه‌ی مورد استفاده غیر یکنواخت می‌باشد به‌طوری که لبه‌ی حمله و لبه‌ی فرار ایرفویل با تعداد نقاط بیشتری معرفی شده است. نمونه‌ای از این شبکه در شکل (۲) آورده شده است.



شکل ۲ نمونه‌ای از شبکه‌ی مورد استفاده در کار حاضر

الگوریتم بهینه‌سازی. الگوریتم مورد استفاده در کار حاضر، الگوریتم بهینه‌سازی جستجوی هارمونی (HS) می‌باشد. چنانچه از نام آن بر می‌آید، این الگوریتم از موسیقی الهام گرفته شده است. به‌طوری که یافتن حالت بهینه در مسائل، معادل با یافتن یک هارمونی مطلوب در موسیقی است. در کار حاضر اصلاحی روی

$$\frac{\partial W}{\partial t} + \frac{\partial F_i}{\partial x} + \frac{\partial G_i}{\partial y} = \frac{1}{Re_\infty} \left(\frac{\partial F_v}{\partial x} + \frac{\partial G_v}{\partial y} \right) + S \quad (2)$$

که W بردار کمیات جریان است و به صورت زیر تعریف می‌شود:

$$W = \begin{bmatrix} \rho \\ \rho u \\ \rho v \\ E \\ \rho \hat{v} \end{bmatrix} \quad (3)$$

بردارهای F_i و G_i بردارهای شار غیر لزج، F_v و G_v بیانگر بردارهای شار لزج و S جمله چشمی می‌باشد که به صورت زیر تعریف می‌گردد:

$$F_i = \begin{bmatrix} \rho u \\ \rho u^2 + p \\ \rho uv \\ (E + p)u \\ \rho \hat{v} u \end{bmatrix} \quad (4)$$

$$G_i = \begin{bmatrix} \rho v \\ \rho uv \\ \rho v^2 + p \\ (E + p)v \\ \rho \hat{v} v \end{bmatrix} \quad (5)$$

$$F_v = \begin{bmatrix} 0 \\ \tau_{xx} \\ \tau_{yx} \\ \tau_{xx}u + \tau_{xy}v + q_x \\ \frac{\rho}{\sigma}(v + \hat{v}) \frac{\partial \hat{v}}{\partial x} \end{bmatrix} \quad (6)$$

$$G_v = \begin{bmatrix} 0 \\ \tau_{xy} \\ \tau_{yy} \\ \tau_{yy}v + \tau_{yx}u + q_y \\ \frac{\rho}{\sigma}(v + \hat{v}) \frac{\partial \hat{v}}{\partial y} \end{bmatrix} \quad (7)$$

$$S = \begin{bmatrix} 0 \\ 0 \\ 0 \\ 0 \\ D \end{bmatrix} \quad (8)$$

در معادلات بالا u , v , p , \hat{v} و E به ترتیب

متغیرهای طراحی، n تعداد متغیرهای طراحی، (j) $LB(j)$ و $UB(j)$ حدود پایینی و بالایی برای متغیر (j) x می‌باشند. پارامترهای الگوریتم HS عبارتند از اندازه‌ی حافظه‌ی هارمونی (Harmony Memory Size) (HMS) یا تعداد بردار جواب‌های حافظه‌ی هارمونی، نرخ درنظر گرفتن Harmony Memory Considering (HMCR) حافظه (Rate Pitch)، نرخ تنظیم زیر و بمی (PAR) و Bandwidth)، پنهانی باند (BW) و تعداد کل بهبودها (NI) Number of Improvisations.

۲- مقدار دهی اولیه به حافظه‌ی هارمونی. HM شامل HMS بردار جواب می‌باشد. با فرض این که $\vec{X}_i = (x_i(1), \dots, x_i(n))$ امین بردار جواب HM باشد، آنگاه بردار جواب‌های HM به صورت تصادفی با استفاده از رابطه‌ی زیر ایجاد می‌شود:

$$X_i(j) = LB(j) + (UB(j) - LB(j)) \times r \quad (10)$$

for $j = 1, \dots, n$ and $i = 1, \dots, HMS$

که در آن r یک عدد تصادفی بین صفر و ۱ می‌باشد. به این ترتیب، ماتریس HM با HMS بردار جواب پر می‌گردد و به صورت زیر نمایش داده می‌شود:

$$\text{HMS} = \begin{bmatrix} x_1(1) & x_1(2) & \dots & x_1(n-1) & x_1(n) \\ x_2(1) & x_2(2) & \dots & x_2(n-1) & x_2(n) \\ \vdots & \vdots & \ddots & \vdots & \vdots \\ x_{HMS}(1) & x_{HMS}(2) & \dots & x_{HMS}(n-1) & x_{HMS}(n) \end{bmatrix} \quad (11)$$

۳- بهبود یک هارمونی جدید. یک بردار هارمونی جدید X_{new} با استفاده از ۳ دستور بهبود داده می‌شود که این ۳ دستور عبارتند از درنظر گرفتن حافظه، تغییر زیر و بمی و انتخاب تصادفی. در ابتدا، یک عدد تصادفی r_1 بین ۰ و ۱ انتخاب می‌شود. اگر r_1

الگوریتم صورت می‌گیرد و از الگوریتم جستجوی هارمونی اصلاح شده، برای عمل بهینه‌سازی استفاده می‌شود. لذا در ابتدا به توضیح الگوریتم جستجوی هارمونی پرداخته می‌شود و در ادامه الگوریتم جستجوی هارمونی اصلاح شده معرفی می‌گردد.

الگوریتم جستجوی هارمونی. در الگوریتم HS، هر حل یک هارمونی نامیده می‌شود و به صورت یک بردار n بعدی معرفی می‌گردد. یک جمعیت اولیه ابتدا به صورت تصادفی ایجاد می‌شود و در حافظه‌ی الگوریتم (HM) Harmony Memory ذخیره می‌گردد. سپس یک بردار جواب جدید مبتنی بر قاعده‌ی درنظر گرفتن حافظه (Memory) (Consideration Rule)، قاعده‌ی تنظیم زیر و بمی (Pitch Adjustment Rule) و انتخاب به صورت تصادفی (Random Re-Initialization) ایجاد می‌شود. در نهایت بردار جواب ایجاد شده با بدترین بردار جواب موجود در حافظه \vec{X}_w (Worst Harmony) مقایسه می‌شود و در صورت بهتر بودن، با بدترین بردار جواب تعویض می‌شود و به این ترتیب HM بهنگام (Update Harmony Memory) می‌گردد. این فرآیند تا برقرار شدن شرط توقف ادامه پیدا می‌کند. با توجه به توضیحات مذکور، الگوریتم HS دارای سه مرحله‌ی اصلی می‌باشد که عبارتند از مقدار دهی اولیه، بهبود یک هارمونی جدید و بهنگام کردن HM. این مراحل در زیر توضیح داده می‌شود.

۱- معرفی مسئله و پارامترهای الگوریتم. به طور کلی، هر مسئله‌ی بهینه‌سازی را می‌توان به صورت مینیمم‌سازی زیر بیان کرد:

$$\text{Min } F(\vec{X}), \vec{X} = (x(1), \dots, x(n)), x(j) \in [LB(j), UB(j)] \quad (9)$$

در رابطه‌ی بالا، $F(\vec{X})$ تابع هدف، \vec{X} مجموعه‌ی

اصلاح حاضر درنظر است روشی برای انتخاب این پارامترها ارائه شود. هم‌چنین یک اصلاح کلی در نحوه انتخاب بردار جواب جدید نیز معرفی خواهد شد. در زیر این اصلاحات به صورت مجزا معرفی می‌شوند.

اصلاح پارامتر PAR در اصلاح حاضر، برای پارامتر PAR مقادیر ماکزیمم و مینیمم درنظر گرفته شده و حل مسئله با مقدار ماکزیمم آن شروع می‌گردد. در ادامه، PAR با گذشت هر یک دهم تعداد کل تکرارها، طبق رابطه‌ی زیر بهنگام می‌شود.

$$PAR = PAR - \frac{PAR_{MAX} - PAR_{MIN}}{9} \quad (3)$$

PAR_{MAX} اغلب بین ۰/۹ و ۱ درنظر گرفته می‌شود. اما PAR_{MIN} به تعداد متغیرهای بردار جواب بستگی خواهد داشت. طبق تجربه، به ازای ۲ متغیر PAR_{MIN} برابر ۰/۹ و به ازای ۸ متغیر PAR_{MIN} برابر ۰/۴ مناسب می‌باشد. کمترین مقداری که PAR_{MIN} می‌تواند داشته باشد نیز برابر ۰/۱ است که در مسائل با تعداد متغیر زیاد، مورد استفاده قرار می‌گیرد.

اصلاح پارامتر HMCR در اصلاح حاضر، تنها در یک دهم اول کل تکرارها، حل تصادفی پیشنهاد می‌شود و مقدار پارامتر HMCR برای آن ۰/۹۵ درنظر گرفته می‌شود. در نه دهم بقیه‌ی حل، مقدار ۱ به پارامتر HMCR اختصاص داده می‌شود. این بدان معنی است که در نه دهم بقیه‌ی حل، متغیری به صورت تصادفی انتخاب نمی‌شود و تنها بردار جواب‌های موجود در حافظه اصلاح می‌شوند.

اصلاح پارامتر BW در کار حاضر، پارامتر PAR به صورت خود اصلاح شونده معرفی می‌گردد. این پارامتر با یک مقدار متوسط اولیه (BW_M)، که معمولاً یک دهم حوزه‌ی تغییرات مجاز هر متغیر است) شروع

کوچکتر از HMCR باشد، X_{new(j)} از حافظه انتخاب می‌شود. در غیر این صورت (j) به صورت تصادفی به دست می‌آید (یعنی مشابه رابطه‌ی (۱۰) بین حدود پایینی و بالایی فضای جستجو انتخاب می‌گردد). انتخاب از HM به صورت رابطه‌ی (۱۲) می‌باشد که در آن a به صورت تصادفی، از مجموعه {1,...,HMS} انتخاب می‌شود.

$$X_{new(j)} = X_a(j), a \in \{1, \dots, HMS\} \quad (1)$$

در صورت انتخاب (j) از HM، پارامتر PAR وارد عمل می‌شود. از این رو، عدد تصادفی دیگری (r₂) بین صفر و ۱ انتخاب می‌شود. اگر r₂ کوچکتر از PAR باشد، (j) به صورت رابطه‌ی زیر تغییر می‌کند که در آن r یک عدد تصادفی بین صفر و ۱ می‌باشد.

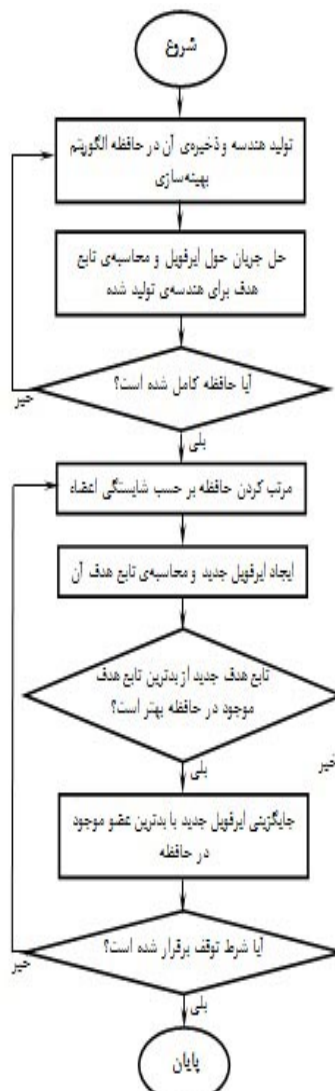
$$x_{new(j)} = x_{new(j)} + BW(j) \times r \quad (2)$$

۴- **بهنگام کردن حافظه**. بعد از ایجاد یک بردار هارمونی جدید (\vec{X}_{new})، باید HM بهنگام گردد. به این صورت که تابع هدف مربوط به \vec{X}_{new} با تابع هدف مربوط به بدترین عضو موجود در حافظه (\vec{X}_w) مقایسه می‌شود. اگر تابع هدف مربوط به \vec{X}_{new} از تابع هدف مربوط به \vec{X}_w بهتر باشد، \vec{X}_{new} با تعویض \vec{X}_w می‌شود. بدین صورت \vec{X}_w از حافظه خارج و \vec{X}_{new} عضو جدید حافظه محسوب می‌شود. در نهایت مراحل ۳ و ۴ تا فرا رسیدن شرط توقف تکرار می‌شود تا حل بهینه به دست آید [11, 24].

الگوریتم جستجوی هارمونی اصلاح شده در کار حاضر. انتخاب پارامترهای W، PAR و HMCR تأثیر زیادی در عملکرد الگوریتم HS دارد. لذا در

الگوریتم بهینه‌سازی حاضر انجام می‌گردد. لذا در بخش نتایج قبل از ارائهٔ نتایج مربوط به بهینه‌سازی آیرودینامیکی، نتایج مربوط به اصلاح الگوریتم ارائه خواهد شد.

الگوریتم کلی حل. در بخش‌های قبلی ابزارهای مورد نیاز برای عمل بهینه‌سازی هندسه‌ی یک ایرفویل و معادلات حاکم معروفی گردید. لذا در این بخش، الگوریتم کلی حل به صورت فلوچارت شکل (۳) ارائه می‌شود.



شکل ۱ فلوچارت الگوریتم کلی حل
شرح مسئله

به کار می‌کند. هنگام نیاز به این پارامتر، مقدار متوسط به صورت تصادفی، به اندازه‌ی یک دهم خودش افزایش و یا کاهش می‌یابد و این مقدار به عنوان پارامتر BW استفاده می‌شود. در صورت وجود بردار هارمونی جدید به حافظه، مقدار بهبود تابع هدف نسبت به بدترین عضو محاسبه و به ازای BW متناظر (یعنی حالت افزایش و یا حالت کاهش مقدار متوسط) ذخیره می‌گردد. بعد از گذشت (AP) (Adjusting Pace) تکرار، مقدار متوسط این پارامتر با توجه به این که مقدار بهبود تابع هدف، در حالت افزایش مقدار متوسط بیشتر بوده است یا در حالت کاهش آن، اصلاح می‌شود. این اصلاح به صورت رابطه‌ی زیر می‌باشد:

$$BW_M = \begin{cases} BW_M + \frac{BW_M}{30} & \text{if } Improvement_{up} > Improvement_{low} \\ BW_M - \frac{BW_M}{30} & \text{if } Improvement_{up} \leq Improvement_{low} \end{cases} \quad (15)$$

در رابطه‌ی (۱۵)، Improvement_{up} نشان دهنده‌ی مجموع بهبودهای تابع هدف در طول AP تکرار، به ازای BW هایی می‌باشد که مقدار آن به اندازه‌ی BW_M از BW_M/۱۰ بیشتر بوده است. به طور مشابه، Improvement_{low} نشان دهنده‌ی مجموع بهبودهای تابع هدف در طول AP تکرار، به ازای BW هایی می‌باشد که مقدار آن به اندازه‌ی BW_M/۱۰ از BW_M کمتر بوده است.

تغییر در نحوه انتخاب بردار جواب جدید. در اصلاح حاضر پیشنهاد می‌شود که به طور تصادفی یک بردار جواب از حافظه برداشته شود. در ادامه، پارامتر HMCR احتمال انتخاب تصادفی بر روی هر یک از متغیرهای بردار جواب انتخاب شده را مشخص می‌کند. هم‌چنین پارامتر PAR تعیین خواهد کرد که تغییر زیر و بهمی روی هر متغیر صورت گیرد یا خیر [21, 25]. اصلاحات معرفی شده برای بهبود عملکرد

ارائهٔ نتایج

نتایج مربوط به اصلاح الگوریتم بهینه‌سازی جستجوی هارمونی. در اولین قسمت از بخش ارائهٔ نتایج کار حاضر، به ارائهٔ نتایج حاصل از اصلاح معرفی شده برای الگوریتم بهینه‌سازی جستجوی هارمونی پرداخته می‌شود. در این راستا سه مسئلهٔ حل می‌شود و نتایج به دست آمده، با نتایج به دست آمده از روش‌های دیگر مقایسه می‌گردد.

ارزیابی شمارهٔ ۱. در ارزیابی اول مینیمم تابع روزنبروک (Rosenbrock Function) به دست آورده می‌شود. این تابع به صورت زیر معرفی می‌شود:

$$f = 100(x_2 - x_1^2)^2 + (1 - x_1)^2$$

$$x_1, x_2 \in [-10, 10]$$

ارزیابی شمارهٔ ۲. در ارزیابی دوم مینیمم کردن یک تابع مقید در نظر است. این مسئله برای اولین بار توسط برانک و کورمیک [26] معرفی شده است. این تابع باید در شرایطی مینیمم گردد که ۲ شرط اعمال شده بر مسئله نیز برآورده شوند. وجود قید در مسئله رسیدن به جواب را به مراتب مشکل‌تر می‌کند. لذا روش‌های ضعیف از به دست آوردن جواب‌های با دقت خوب باز خواهند ماند. تابع مورد نظر که با f و قیدهای اعمال شده که با g نشان داده شده‌اند به صورت زیر می‌باشند:

$$f = (x_1 - 2)^2 + (x_2 - 1)^2$$

$$g_1 = x_1 - 2x_2 + 1 = 0$$

$$g_2 = -\frac{1}{4}x_1^2 - x_2^2 + 1 \geq 0$$

$$x_1, x_2 \in [-10, 10]$$

همان‌طور که توضیح داده شد، در کار حاضر، طراحی ایرفویل به روش بهینه‌سازی معکوس مورد تحلیل قرار می‌گیرد. لذا یک ایرفویل به عنوان ایرفویل شروع‌کننده و یک ایرفویل به عنوان ایرفویل هدف معرفی می‌گردد. مقصود، رسیدن به ایرفویل هدف از ایرفویل شروع‌کننده، به واسطهٔ نزدیک کردن توزیع فشار ایرفویل در دست بررسی، به توزیع فشار ایرفویل هدف است. لذا تابع هدف به صورت رابطهٔ زیر معرفی می‌گردد:

Cost Function

$$= \frac{1}{2} \int_0^1 (C_p - C_{p,\text{Target}})^2_{\text{Low Surface}} dx + \frac{1}{2} \int_0^1 (C_p - C_{p,\text{Target}})^2_{\text{Up Surface}} dx \quad (16)$$

در رابطهٔ فوق، $C_{p,\text{Target}}$ توزیع فشار ایرفویل هدف و C_p توزیع فشار ایرفویل در حال بررسی می‌باشد. لذا مجموعهٔ حاضر، هندسه‌های مختلفی را تولید کرده و با حل معادلات جریان حول آن، تابع هدف مربوط را می‌یابد. با انجام مکرر این رویه و مقایسهٔ توابع هدف حل‌های مختلف، در جهت تعیین بهترین ایرفویل اقدام می‌نماید.

محدودیت‌های حاکم بر حل. برای انجام بهینه‌سازی مسلمًا قیدهایی بر مسئله اعمال می‌گردد. در صورت در نظر نگرفتن این قیدها، حل دقیق و مورد نظر به دست نخواهد آمد و یا این که همگرایی حل به تأخیر خواهد افتاد. آشکارترین این محدودیت‌ها، انتخاب بازه‌ی حل برای هر کدام از پارامترهای طراحی می‌باشد. انتخاب این بازه‌ی حل معمولاً طبق تجربه انجام می‌گیرد. حدود بالایی و پایینی پارامترهای طراحی مورد استفاده در کار حاضر، در جدول (۱) ارائه شده است.

جدول ۱ محدوده‌ی مجاز پارامترهای کنترل‌کننده

r_{le}	X_{up}	Z_{up}	X_{lo}	Z_{lo}	Z_{xxup}	Z_{xxlo}	α_{TE}	β_{TE}	حد بالایی
۰/۰۸	۰/۸	۰/۱	۰/۷	۰/۰۶	-۰/۰۱	۰/۳	۰/۰۱	۰/۵	
۰/۰۰۵	۰/۱	۰/۰۲	۰/۲	-۰/۰۴	-۱/۲	-۱	-۰/۸	۰	حد پایینی

مربوط به طراحی یک مبدل‌هگر گرما

ارزیابی شمارهٔ ۳. ارزیابی سوم با معادلات

الگوریتم‌های تکاملی به‌ازای اعداد تصادفی مختلف نتایج متفاوتی را ارائه می‌دهند. لذا در این ارزیابی‌ها، حل مسئله ۱۰ مرتبه توسط الگوریتم حاضر انجام می‌شود و میانگین نتایج ارائه می‌گردد. مقدار برای الگوریتم اصلاح شده برای هر سه ارزیابی برابر ۱۰ و AP برای ارزیابی‌های اول و دوم برابر ۱۰ و برای ارزیابی سوم برابر ۲۰۰ در نظر گرفته می‌شود. دیگر پارامترهای لازم برای این الگوریتم، با اصول ارائه شده در بخش الگوریتم جستجوی هارمونی در کار حاضر تعیین شده‌اند.

جدول‌های ۲، ۳ و ۴ نتایج حل الگوریتم حاضر برای ارزیابی‌های مذکور را به همراه نتایج حل الگوریتم‌های مختلف دیگر نشان می‌دهد. جدول (۱) حاکی از کاهش قابل توجه تعداد تکرار الگوریتم حاضر، در رسیدن به تابع هدف است. جداول (۲ و ۳) نیز در عین اینکه کاهش چشم‌گیر تعداد تکرار الگوریتم حاضر را نشان می‌دهد، افزایش دقت جواب‌ها را نیز نسبت به حل تحلیلی نمایش می‌دهد.

(Design Exchanger Heat) سر و کار دارد. در این مورد مینیمم کردن تابع f تحت ۶ قید g مطلوب است. تابع هدف و قیدهای مسئله در زیر آورده شده است:

$$f = x_1 + x_2 + x_3$$

$$g_1 = 0/0025(x_4 + x_6) - 1 \leq 0$$

$$g_2 = 0/0025(x_5 + x_7 - x_4) - 1 \leq 0$$

$$g_3 = 1 - 0/01(x_8 - x_5) \geq 0$$

$$g_4 = x_1 x_6 - 833/33252x_4 - 100x_1 \\ + 83333/333 \geq 0$$

$$g_5 = x_2 x_7 - 1250x_5 - x_2 x_4 + 1250x_4 \geq 0$$

$$g_6 = x_3 x_8 - x_3 x_5 + 2500x_5 - 1250000 \geq 0$$

$$x_1 \in [100, 10000]$$

$$x_2 \in (-\infty, 1000]$$

$$x_3 \in (-\infty, 10000]$$

$$x_i \in [10, 1000] ; i = 4 \text{ to } 8$$

سه ارزیابی معرفی شده‌ی فوق، توسط الگوریتم جستجوی هارمونی اصلاح شده حل گردیده است.

جدول ۲ مقایسه‌ی نتایج مربوط به ارزیابی ۱ الگوریتم بهینه‌سازی

حل تحلیلی [28]	کار حاضر	IPHS [28]	PHS [28]	Lee and Geem [27]	تابع هدف
.	.		.	.	
-----	۱,۰۰۰	۱۶۸۰۰	۱۶۸۰۰	۵۰,۰۰۰	تعداد تکرار

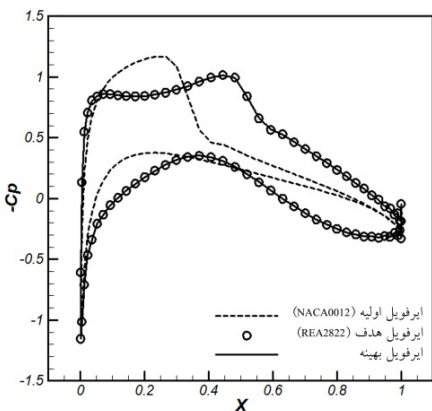
جدول ۳ مقایسه‌ی نتایج مربوط به ارزیابی ۲ الگوریتم بهینه‌سازی

حل تحلیلی [28]	کار حاضر	IPHS [28]	Lee and Geem [27]	Homaifar [30]	Fogel [29]	تابع هدف
۱/۳۹۳۵	۱/۳۹۳۵	۱/۳۹۲۲۲	۱/۳۷۷۰	۱/۴۳۳۹	۲/۳۷۷۲	
-----	۲,۰۰۰	۹۸,۰۰۰	۴۰,۰۰۰	گزارش نشده	گزارش نشده	تعداد تکرار

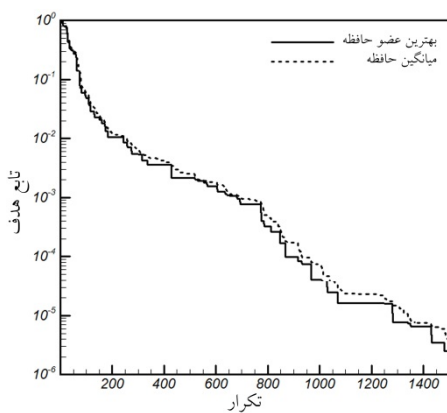
جدول ۴ مقایسه‌ی نتایج مربوط به ارزیابی ۳ الگوریتم بهینه‌سازی

حل تحلیلی [28]	کار حاضر	IPHS [28]	Lee and Geem [27]	Deb [31]	تابع هدف
۷۰۴۹/۳۳۰۹	۷۰۴۹/۳۳	۷۰۵۱/۳۰۱۲	۷۰۵۷/۲۷	۷۰۶۰/۲۲۱	
-----	۱۵۰,۰۰۰	۲۰۰,۰۰۰	۱۵۰,۰۰۰	۳۲۰,۰۸۰	تعداد تکرار

نتایج مربوط به بهینه‌سازی آبرودینامیکی. بعد از ارزیابی اصلاح انجام شده و بررسی تأثیر آن بر عملکرد



شکل ۵ نمایش توزیع ضریب فشار سطح ایرفویل های اولیه، هدف و بهینه شده، برای رسیدن از ایرفویل NACA0012 به $\alpha = 2^\circ$, $M_\infty = 0.73$, $Re_\infty = 6.5E6$



شکل ۶ نمودار تاریخچه همگرایی بهینه سازی، برای رسیدن از ایرفویل NACA0012 به ایرفویل RAE2822 تحت شرایط $\alpha = 2^\circ$, $M_\infty = 0.73$, $Re_\infty = 6.5E6$

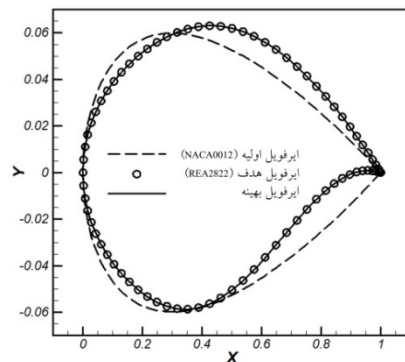
برای نشان دادن عدم وابستگی مجموعه، به ایرفویل های ابتدائی و هدف، عکس آزمایش قبلی انجام می شود. یعنی در شرایط آزمایش قبل، درنظر است با شروع از ایرفویل RAE2822 و مینیمم کردن تابع هدف، ایرفویل NACA0012 (ایرفویل هدف) به دست آید. هندسه و توزیع ضریب فشار سطح ایرفویل های اولیه و نهایی مربوط به این آزمایش، در شکل های

الگوریتم، از این الگوریتم برای بهینه سازی آیرو دینامیکی استفاده می شود. در این راستا بهینه سازی معکوس انجام می گردد. برای به دست آوردن تمام نتایج در کار حاضر، حافظه ای الگوریتم HS برابر ۱۰ در نظر گرفته شده است. برای آغاز بهینه سازی، یک ایرفویل، ایرفویل اولیه (NACA0012) (در ارزیابی دوم (RAE2822) و ۹ ایرفویل دیگر ایرفویل های تصادفی خواهند بود که با تغییر بر روی ایرفویل ۱۲ (NACA0012) (در ارزیابی دوم (RAE2822) ایجاد شده اند.

ابتدا ایرفویل NACA0012 به عنوان ایرفویل شروع کننده و ایرفویل RAE2822 به عنوان ایرفویل هدف در نظر گرفته می شود. در نظر است با مینیمم سازی اختلاف توزیع فشار سطح، ایرفویل هدف به دست آید. این کار در شرایط گذر صوتی و آشفته ای زیر انجام می گیرد:

$$\alpha = 2^\circ, \quad M_\infty = 0.73, \quad Re_\infty = 6.5E6$$

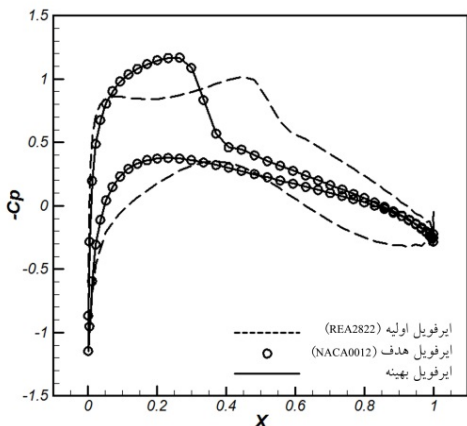
شکل های (۵ و ۴)، نتیجه ای این آزمایش را در قالب هندسه و توزیع ضریب فشار ایرفویل های اولیه و نهایی نشان می دهند. همان طوری که دیده می شود، مجموعه توانسته است از ایرفویل ابتدایی شروع کرده و با دقت خوبی خود را به ایرفویل هدف برساند.



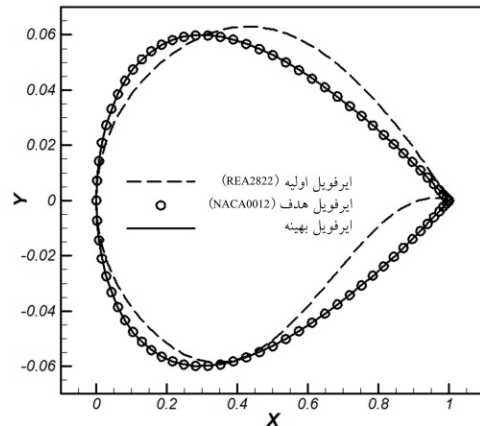
شکل ۴ نمایش هندسه ای ایرفویل های اولیه، هدف و بهینه شده، برای رسیدن از ایرفویل NACA0012 به ایرفویل RAE2822 تحت شرایط $\alpha = 2^\circ$, $M_\infty = 0.73$, $Re_\infty = 6.5E6$

نتیجه‌ی دوم، تأیید مجدد دقت مجموعه می‌باشد. چرا که مجموعه توانسته است مقدار تابع هدف را تا $6\text{-}4/3E$ (که دقت خوبی برای این مسئله می‌باشد) کاهش و عمل بهینه‌سازی را به خوبی انجام دهد.

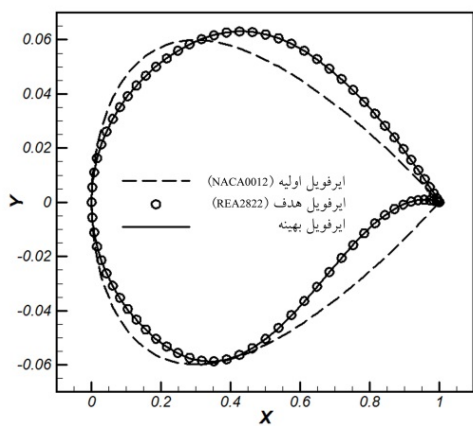
(۸) و (۷) ارائه داده شده است. نمودار تاریخچه‌ی همگرایی این عمل بهینه سازی نیز در شکل (۹) دیده می‌شود. این نتایج در ابتدا بر این امر تأکید دارد که شروع و انتهای کار بر کارایی مجموعه تأثیری ندارد.



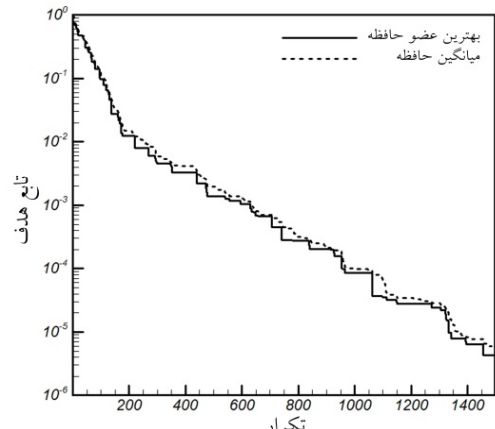
شکل ۸ نمایش توزیع ضربی فشار سطح ایرفویل‌های اولیه، هدف و بهینه‌شده، برای رسیدن از ایرفویل RAE2822 به ایرفویل $\alpha = 2^\circ$, $M_\infty = 0.73$, $Re_\infty = 6.5E6$ تحت شرایط NACA0012



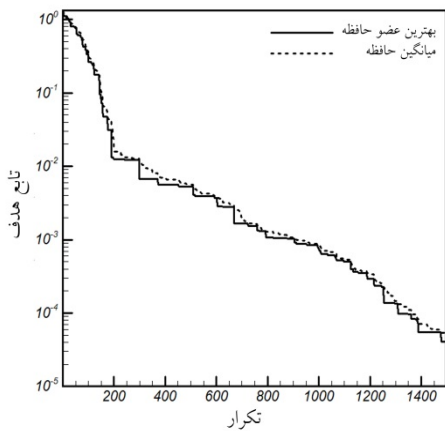
شکل ۷ نمایش هندسه‌ی ایرفویل‌های اولیه، هدف و بهینه‌شده، برای رسیدن از ایرفویل RAE2822 به ایرفویل NACA0012 تحت شرایط $\alpha = 2^\circ$, $M_\infty = 0.73$, $Re_\infty = 6.5E6$



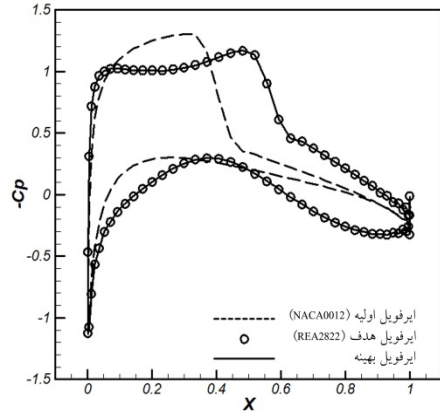
شکل ۱۰ نمایش هندسه‌ی ایرفویل‌های اولیه، هدف و بهینه‌شده، برای رسیدن از ایرفویل NACA0012 به ایرفویل RAE2822 تحت شرایط $\alpha = 2.79^\circ$, $M_\infty = 0.734$, $Re_\infty = 6.5E6$



شکل ۹ نمودار تاریخچه‌ی همگرایی بهینه‌سازی، برای رسیدن از ایرفویل RAE2822 به ایرفویل NACA0012 تحت شرایط $\alpha = 2^\circ$, $M_\infty = 0.73$, $Re_\infty = 6.5E6$



شکل ۱۲ نمودار تاریخچه‌ی همگرایی بهینه‌سازی، برای رسیدن از ایرفویل NACA0012 به ایرفویل RAE2822 تحت شرایط $\alpha = 2.79^\circ$, $M_\infty = 0.734$, $Re_\infty = 6.5E6$



شکل ۱۱ نمایش توزیع ضریب فشار سطح ایرفویل‌های اولیه، هدف و بهینه‌شده، برای رسیدن از ایرفویل NACA0012 به ایرفویل RAE2822 تحت شرایط $\alpha = 2.79^\circ$, $M_\infty = 0.734$, $Re_\infty = 6.5E6$

ایرفویل‌ها مورد استفاده قرار گرفت. بررسی مسائل به روش طراحی بهینه‌سازی معکوس بود. استفاده از این روش طراحی برای ایرفویل‌های مشهور با توزیع فشارهای معلوم، روش مناسبی برای سنجش عملکرد مجموعه‌های بهینه‌کننده ایرفویل‌ها می‌باشد. برای به دست آوردن توزیع فشار و سرعت در اطراف ایرفویل، معادلات دوبعدی تراکم‌پذیر ناوبر-استوکس به همراه مدل درهم اسپالارت-آلماراس حل گردید. الگوریتم بهینه‌سازی جستجوی هارمونی با دقت خوبی توانست به بازسازی ایرفویل هدف (با نزدیک کردن توزیع ضریب فشار ایرفویل در حال بررسی به توزیع ضریب فشار ایرفویل هدف) پردازد. با استناد به نتایج به دست آمده می‌توان نتیجه‌گیری کرد که استفاده از الگوریتم جستجوی هارمونی، ابزار توانمندی را برای بهینه‌سازی مقاطع آبرو دینامیکی در اختیار می‌گذارد. به طوری که می‌توان این الگوریتم را برای بررسی ایرفویل‌ها به روش طراحی بهینه‌سازی مستقیم نیز به خدمت گرفت. برای مثال، می‌توان از این الگوریتم، برای به دست آوردن ایرفویل بهینه با بیشینه برآ، کمینه پسا، بیشینه‌ی مقدار برآ به پسا و غیره استفاده نمود.

کارایی مجموعه بهینه‌ساز تحت شرایط جریان متفاوت نیز ارزیابی می‌گردد. برای این کار، ایرفویل NACA0012 به عنوان ایرفویل اولیه و ایرفویل RAE2822 به عنوان ایرفویل هدف با شرایط جریان زیر در نظر گرفته می‌شود:

$$\alpha = 2.79^\circ, \quad M_\infty = 0.734, \quad Re_\infty = 6.5E6$$

شکل‌های (۱۱) و (۱۰) هندسه و توزیع ضریب فشار سطح ایرفویل‌های اولیه و نهایی و شکل (۱۲) نمودار تاریخچه‌ی همگرایی این ارزیابی را نشان می‌دهد. نتایج این آزمایش نشان می‌دهد که مجموعه بهینه‌ساز، تحت شرایط جریان متفاوت نیز به خوبی عمل می‌کند؛ چرا که الگوریتم توانسته است تابع هدف را تا $4E-5$ کاهش دهد.

نتیجه‌گیری

در کار حاضر الگوریتم تکاملی بهینه‌سازی جستجوی هارمونی برای اولین بار، در جهت بهینه‌سازی

مراجع

1. Fearn, R. L., "Airfoil Aerodynamics Using Panel Methods", *The Mathematica Journal*, Vol. 10, pp. 225-239, (2008).
2. <http://en.wikipedia.org/wiki/Aerodynamics>.
3. <http://adg.stanford.edu/aa241/airfoils/airfoilhistory.html>, (2011).
4. Jameson, A., "Computational Aerodynamics for Aircraft Design", Reprinted from Science, Vol. 245, pp. 361-371, (1989).
5. Zhang, Z. and Lum, K-Y., "Airfoil Optimization Design of Drag Minimization with Lift Constraint Using Adjoint Equation Method", *44th AIAA Aerospace Sciences Meeting and Exhibit*, 9-12 January, Reno, Nevada, (2006).
6. Kim, S., Alonso, J. J. and Jameson, A., "Design Optimization of High-Lift Configurations Using a Viscous Continuous Adjoint Method", *40th AIAA Aerospace Sciences Meeting and Exhibit*, pp. 0844, (2002).
7. Giannakoglou, K.C. "Design of optimal aerodynamic shapes using stochastic optimization methods and computational intelligence", *Progress in Aerospace Sciences*, Vol. 38, pp. 43–76, (2002).
8. Soemarwoto, B. I., "The Variational Method for Aerodynamic Optimization Using the Navier-Stokes Equations", *ICASE Report*, pp. 97-71, (1997).
9. Jahangirian, A. and Shahrokhi, A., "Inverse Design of Transonic Airfoils Using Genetic Algorithm and a New Parametric Shape Method", *Inverse Problems in Science and Engineering*, Vol. 17, pp. 681-699, (2009).
10. de' Michieli Vitturi, M. and Beux, F., "A discrete Gradient-Based Approach for Aerodynamic Shape Optimization in Turbulent Viscous Flow", *Finite Elements in Analysis and Design*, Vol. 43, pp. 68 – 80, (2006).
11. Geem, Z. W., "*Music-Inspired Harmony Search Algorithm*", Springer-Verlag, Berlin Heidelberg, (2009).
12. Gardner, B. A. and Selig, M. S., "Airfoil Design Using a Genetic Algorithm and an Inverse Method", *41st Aerospace Sciences Meeting and Exhibit*, (2003).
13. Shahrokhi, A. and Jahangirian, A., "Airfoil Shape Parameterization for Optimum Navier-Stokes Design with Genetic Algorithm", *Aerospace Science and Technology*, Vol. 11, pp. 443–450, (2007).
14. Sobester, A. and Thomas, B .T, "The Quest for a Truly Parsimonious Airfoil Parameterization Scheme", *ICASE 2008 Congress including the 8th AIAA ATIO Conference*, (2008).
15. Shahrokhi, A. and Jahangirian, A., "The Effects of Shpe Parameterization on the Efficiency of Evolutionary Design Optimization for Viscous Transonic Airfoils", *JAST*, Vol. 5, pp. 35-43, (2008).

16. Boehm, W., "Bezier Presentation of Airfoils", *Computer Aided Geometric Design*, Vol. 4, pp. 17-22, (1987).
17. De'side'ri, J-A., Abou El Majd, B. and Janka, A., "Nested and Self-Adaptive Be'Zier Parameterizations for Shape Optimization", *Journal of Computational Physics*, Vol. 224, pp. 117–131, (2007).
18. Avinash, G.S. and Anil, L.S., "Inverse Design of Airfoil Using Vortex Element Method", *Mechanical Engineering Papers*, (2010).
19. H'ajek, J., "Aerodynamic Optimization of Airfoils and Wings Using Fast Solvers", Ph.D. Thesis, Charles University, Prague, (2009).
20. Wauquiez, C., "Shape Optimization of Low Speed Airfoils using MATLAB and Automatic Differentiation", Licentiate's Thesis, (2000).
21. جلیلی ف، "بهینه‌سازی دوبعدی هندسه‌ی یک ایرفویل تحت جریان لزج با استفاده از الگوریتم جستجوی هارمونی"، پایان‌نامه‌ی کارشناسی ارشد، دانشگاه بیرجند، گروه مکانیک، پاییز (۱۳۹۰).
22. Buckley, H.P., Zhou, B.Y. and Zingg, D.W., "Airfoil Optimization Using Practical Aerodynamic Design Requirements", *Journal of Aircraft*, Vol. 47, pp. 5, (2010).
23. Spalart, P.R. and Allmaras, S.R., "A One-Equation Turbulence Model for Aerodynamic Flows," *La Recherche Aerospaciale*, No. 1, pp. 5-21, (1994).
24. Pan, Q. K., Suganthan, P.N., Fatih Tasgetiren, M. and Liang, J.J., "A Self-Adaptive Global Best Harmony Search Algorithm for Continuous Optimization Problems", *Applied Mathematics and Computation*, Vol. 216, pp. 830–848, (2010).
25. جلیلی ف، عزیزی ح، "بهینه‌سازی هندسه‌ی پره با انتقال حرارت جابه‌جا‌ی و تابش با استفاده از الگوریتم جستجوی هارمونی"، نوزدهمین همایش سالانه‌ی مهندسی مکانیک ایران، دانشگاه بیرجند، (۲۰۱۱).
26. Bracken, J. and McCormick, G. P., "Selected Applications of Nonlinear Programming", New York: John Wiley and Sons, (1968).
27. Lee, K.S. and Geem, Z.W. "A New Meta-Heuristic Algorithm for Continues Engineering Optimization: Harmony Search Theory and Practice", *Comput. Methods Appl. Mech. Eng.*, Vol. 194, pp. 3902–3933, (2004).
28. Jaberipour, M. and Khorram, E., "Two Improved Harmony Search Algorithms for Solving Engineering Optimization Problems", *Commun Nonlinear Sci Numer Simulat*, Vol. 15, pp. 3316–3331, (2010).
29. Fogel, D. B., "A Comparison of Evolutionary Programming and Genetic Algorithms on Selected Constrained Optimization Problems", *Simulation*, Vol. 64(6), pp. 399–406, (1995).
30. Homaifar, A., Lai, S. H. V. and Qi, X., "Constrained Optimization via Genetic Algorithms", *Simulation*, Vol. 62(4), pp. 242–254, (1994).

31. Deb, K., "An Efficient Constraint Handling Method for Genetic Algorithms", *Comput. Methods Appl. Mech. Eng.*, Vol. 186, pp. 311–338, (2000).